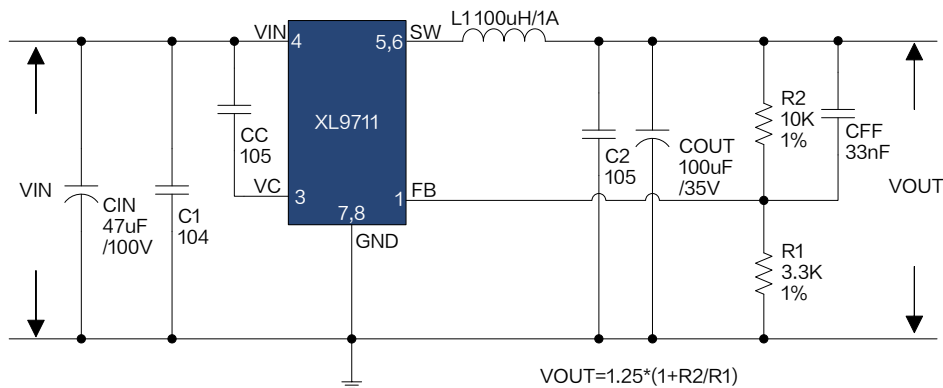


## 描述

XL9711 提供的演示板，用于 DC5V~72V 输入，输出电流 0.6A 的降压恒压应用演示，最高转换效率可以达到 93%。

XL9711 是同步整流降压型 DC-DC 转换芯片，固定开关频率 120KHz，可减小外部元器件尺寸，方便 EMC 设计。芯片具有出色的线性调整率与负载调整率。芯片内部集成短路保护、过流保护、过温保护等可靠性模块。XL9711 为标准 SOP8 封装，集成度高，外围器件少，应用灵活。

## DEMO 原理图



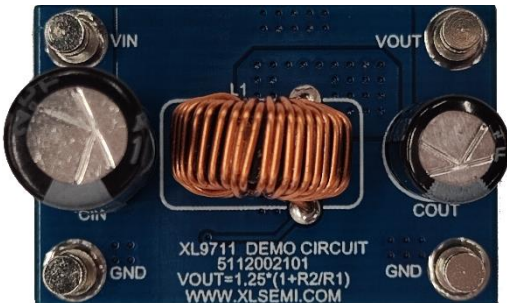
## 引脚介绍

| 引脚号 | 引脚名称 | 引脚描述  |
|-----|------|---|
| 1   | FB   | 反馈引脚，通过外部电阻分压网络，检测输出电压进行调整，参考电压为 1.25V。       |
| 2   | NC   | 无连接。  |
| 3   | VC   | 内部电压调节器旁路电容引脚，需要在 VIN 与 VC 引脚之间连接 1 个 1uF 电容。 |
| 4   | VIN  | 电源输入引脚，支持 DC5V~72V 输入电压范围。                    |
| 5,6 | SW   | 功率开关输出引脚，SW 是输出功率的开关节点。                       |
| 7,8 | GND  | 接地引脚。   |

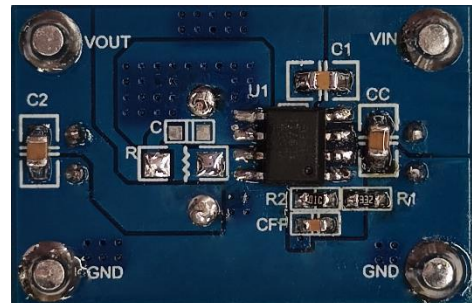
## 物料清单

| 序号 | 数量 | 参考位号  | 说明                                 | 生产商型号           | 生产商     |
|----|----|-------|------------------------------------|-----------------|---------|
| 1  | 1  | C1    | 0.1uF,100V,Ceramic,X7R,0805        | C2012X7R2A104K  | TDK     |
| 2  | 2  | C2、CC | 1uF,50V,Ceramic,X7R,0805           | C2012X7R1H105K  | TDK     |
| 3  | 1  | CFF   | 33nF,50V,Ceramic,X7R,0603          | C1608X7R1H333K  | TDK     |
| 4  | 1  | CIN   | 47uF,100V,Electrolytic,8*16        | YXJ-100V-47uF   | Rubycon |
| 5  | 1  | COUT  | 100uF,35V,Electrolytic,6.3*11      | YXJ-35V-100uF   | Rubycon |
| 6  | 1  | L1    | 100uH/1A                           | -               | -       |
| 7  | 1  | R1    | 3.3KΩ,1%,1/16W,Thick Film,0603     | RC0603FR-073K3L | Yageo   |
| 8  | 1  | R2    | 10KΩ,1%,1/16W,Thick Film,0603      | RC0603FR-0710KL | Yageo   |
| 9  | 1  | U1    | 80V,0.6A,BUCK,DC-DC Converter,SOP8 | XL9711          | XLSEMI  |

## DEMO 实物图

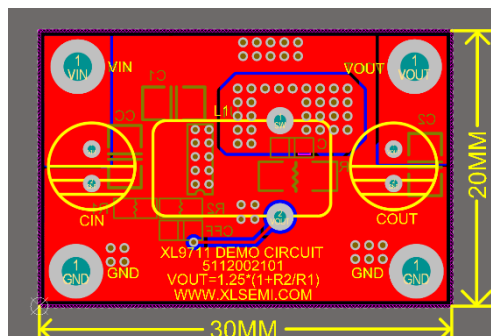


实物图正面

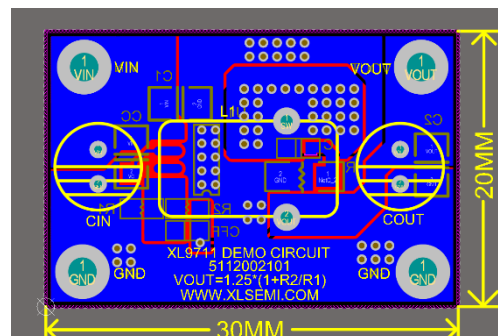


实物图反面

## PCB 布局

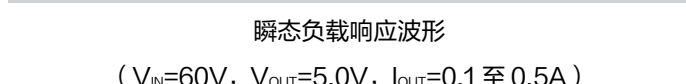
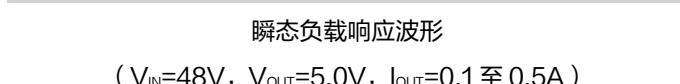
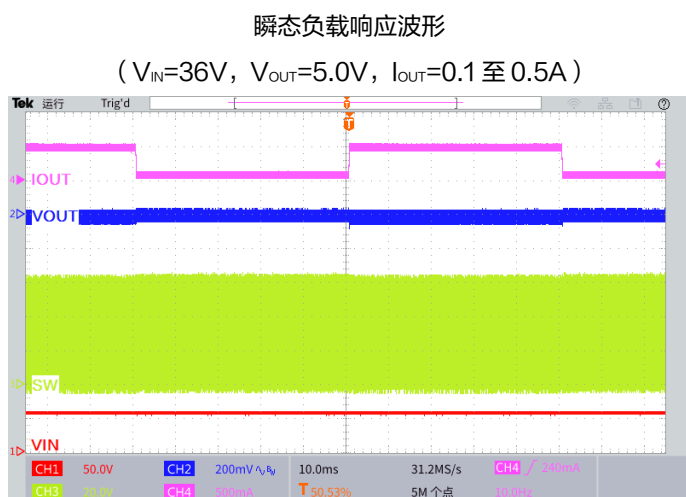
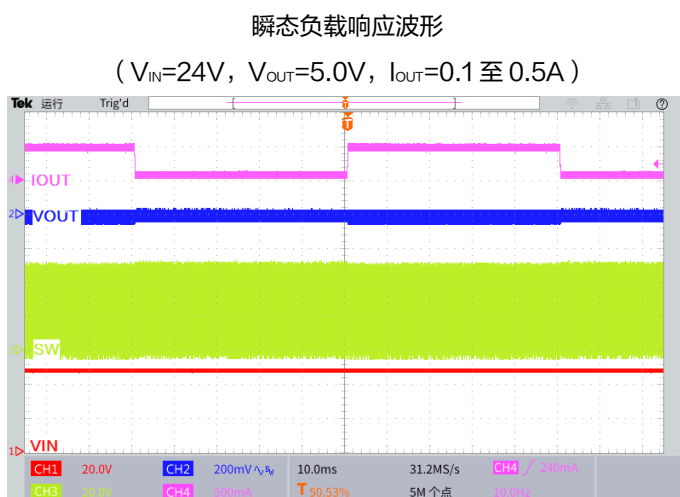
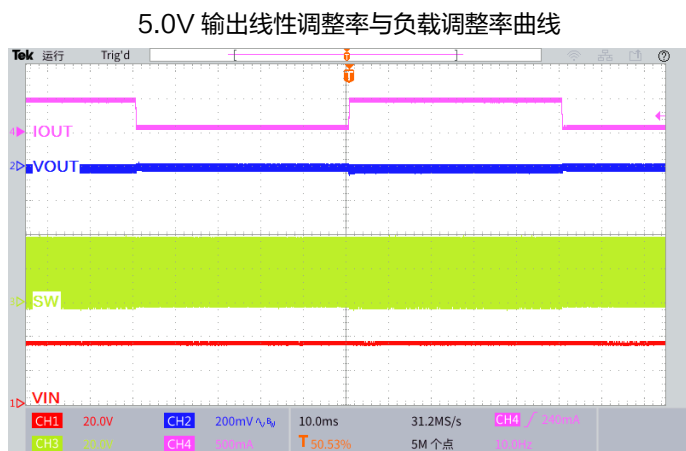
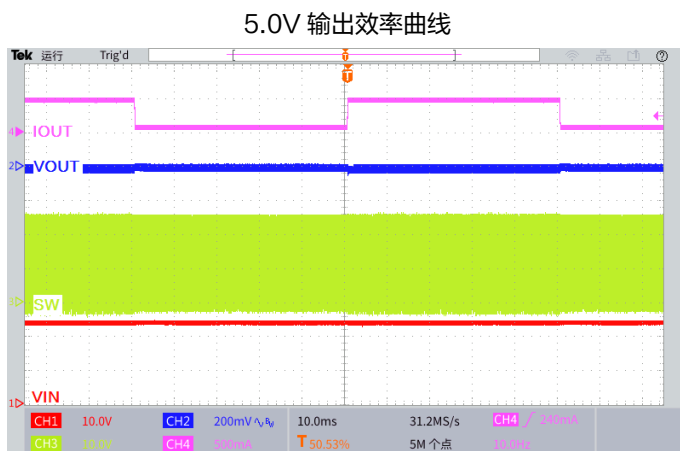
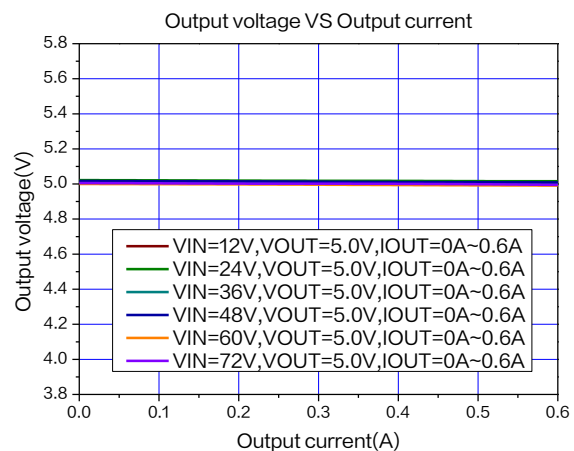
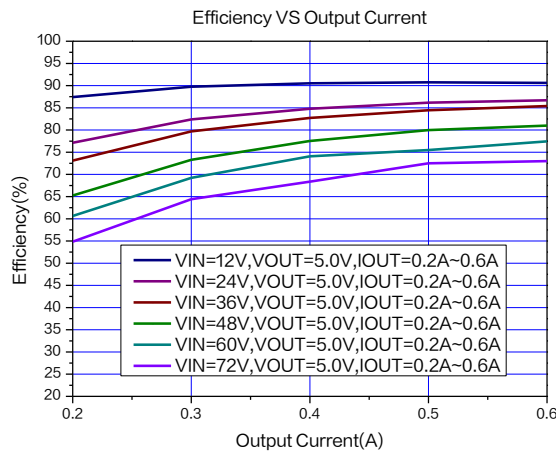


PCB顶层截图



PCB底层截图

## 典型性能参数



## 应用信息

### 输入电容选择

在连续模式中, 转换器的输入电流是一组占空比约为  $V_{OUT}/V_{IN}$  的方波。为了防止大的瞬态电压, 必须采用针对最大 RMS 电流要求而选择低 ESR(等效串联电阻)输入电容器。对于大多数的应用, 1 个  $47\mu F$  的输入电容器就足够了, 它的放置位置尽可能靠近芯片的位置上。最大 RMS 电容器电流由下式给出:

$$I_{RMS} \approx I_{MAX} * \frac{\sqrt{V_{OUT}(V_{IN}-V_{OUT})}}{V_{IN}}$$

其中, 最大平均输出电流  $I_{MAX}$  等于峰值电流与  $1/2$  峰值纹波电流之差, 即  $I_{MAX}=I_{LIM}-\Delta IL/2$ 。在未使用陶瓷电容器时, 还建议在输入电容上增加一个  $0.1\mu F$  至  $1\mu F$  的陶瓷电容器以进行高频去耦。

### 输出电容选择

在输出端应选择低 ESR 电容以减小输出纹波电压, 一般来说, 一旦电容 ESR 得到满足, 电容就足以满足需求。任何电容器的 ESR 连同其自身容量将为系统产生一个零点, ESR 值越大, 零点位于的频率段越低, 而陶瓷电容的零点处于一个较高的频率上, 通常可以忽略, 是一种上佳的选择, 但与电解电容相比, 大容量、高耐压陶瓷电容会体积较大, 成本较高, 因此使用  $0.1\mu F$  至  $1\mu F$  的陶瓷电容与低 ESR 电解电容结合使用是不错的选择。输出电压纹波由下式决定:

$$\Delta V_{OUT} \approx \Delta IL * \left[ ESR + \frac{1}{8*F*C_{OUT}} \right]$$

式中的 F: 开关频率,  $C_{OUT}$ : 输出电容,  $\Delta IL$ : 电感器中的纹波电流。

### 电感选择

虽然电感器并不影响工作频率, 但电感值却对纹波电流有着直接的影响, 电感纹波电流  $\Delta IL$  随着电感值的增加而减小, 并随着  $V_{IN}$  和  $V_{OUT}$  的升高而增加。用于设定纹波电流的一个合理起始点为  $\Delta IL = 0.3*I_{LIM}$ , 其中  $I_{LIM}$  为峰值开关电流限值。为了保证纹波电流处于一个规定的最大值以下, 应按下式来选择电感值:

$$L = \frac{V_{OUT}}{F * \Delta IL} * \left[ 1 - \frac{V_{OUT}}{V_{IN(MAX)}} \right]$$

### PCB 布局指南

1.  $V_{IN}$ 、 $GND$ 、 $SW$ 、 $V_{OUT}$  等功率线, 粗、短、直;
2.  $FB$  走线远离电感等开关信号地方, 建议使用地线包围;
3. 输入电解电容正极靠近芯片  $V_{IN}$  引脚, 输入电解电容负极靠近芯片  $GND$  引脚。